



# БИООРГАНИЧЕСКАЯ ХИМИЯ

том 2 \* № 4 \* 1976

УДК 577.158

## КИНЕТИКА ГИДРОКСИЛИРОВАНИЯ НАФТАЛИНА ГИДРОПЕРЕКИСЬЮ ТРЕТИЧНОГО БУТИЛА ПРИ УЧАСТИИ МИКРОСОМ ПЕЧЕНИ И $\text{MoCl}_5$

*Ахрел А. А., Абелиович М. Л., Дворников С. С.,  
Усанов С. А., Метелица Д. И.*

*Институт биоорганической химии Академии наук БССР, Минск*

При  $37^\circ$  в среде, содержащей трис-НCl-буфер ( $\text{pH } 7,4$ ) и микросомы печени крысы, изучена кинетика гидроксилирования нафталина в  $\alpha$ -нафтол гидроперекисью третичного бутила (ГПТБ). Зависимость скорости реакции от концентраций субстрата, ГПТБ и микросомного белка свидетельствует о возможности образования тройного комплекса субстрат — цитохром Р-450 — ГПТБ. Определены величины  $K_m$  по субстрату ( $5,0 \cdot 10^{-4}$  М) и ГПТБ ( $2,85 \cdot 10^{-3}$  М). Методом дифференциальной спектрофотометрии измерена константа диссоциации комплекса цитохрома Р-450 с нафталином, равная  $0,67 \cdot 10^{-4}$  М при  $20^\circ$ . Показана гидроксилирующая способность системы ГПТБ —  $\text{MoCl}_5$  по отношению к нафталину и обсужден механизм реакции гидроксилирования системой ГПТБ — микросомы. Предполагается возможная роль высших валентных состояний ионов железа в процессах гидроксилирования микросомными системами.

Ферментная система микросом печени млекопитающих, содержащая цитохром Р-450, катализирует гидроксилирование молекулярным кислородом разнообразных субстратов, относящихся к алифатическому, ароматическому и другим классам органических соединений [1]. Один атом молекулы кислорода включается в субстрат лишь после того, как молекула  $\text{O}_2$  присоединяется к восстановленному гемовому железу цитохрома Р-450. Активация молекулярного кислорода цитохромом Р-450 состоит в передаче первому двух электронов: один электрон получает комплекс субстрата с цитохромом из цепи переноса, специфичной к NADPH, а второй электрон получает тройной комплекс цитохрома с субстратом и кислородом из цепи переноса, специфичной к NADH [2].

Одной из форм активированного кислорода являются гидроперекиси и надкислоты, в которых кислород уже восстановлен двумя электронами. Можно предположить, что такая активная форма кислорода в сочетании с окисленным цитохромом Р-450 будет обладать гидроксилирующей способностью. Для проверки этого предположения нами была изучена кинетика гидроксилирования нафталина в  $\alpha$ -нафтол ГПТБ при участии цитохрома Р-450 микросом печени крысы.

Опыты при начальных концентрациях ГПТБ (0,01 М) и нафталина  $\text{ArH}$  (0,001 М) и различных концентрациях белка показали, что начальная скорость окисления нафталина в  $\alpha$ -нафтол линейно растет с увеличением содержания микросомного белка от 0,75 до 2,0 мг/мл и не изменяется при дальнейшем увеличении концентрации белка.

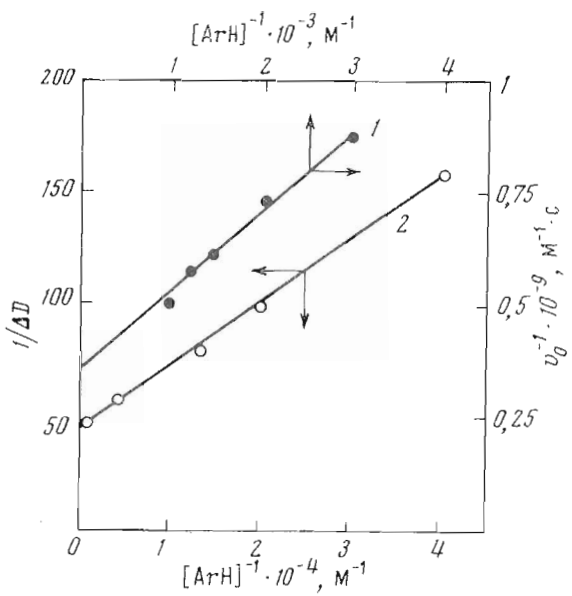


Рис. 1. Зависимость обратной скорости реакции окисления нафталина (1) и обратной величины спектральных изменений (2) от обратной концентрации нафталина. Условия: 1 — 37°,  $[ГПТБ]_0 = 0,01$  М, концентрация микросомного белка 1,83 мг/мл; 2 — 20°, концентрация микросомного белка 3,0 мг/мл, фосфатный буфер, pH 7,5

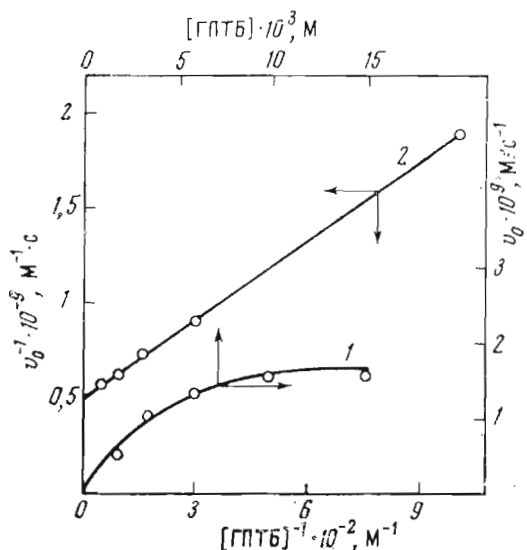


Рис. 2. Зависимость скорости реакции гидроксилирования нафталина от концентрации ГПТБ (1) и обратной скорости реакции от обратной концентрации ГПТБ (2). Условия: 37°,  $[ArH]_0 = 5,0 \cdot 10^{-4}$  М, концентрация микросомного белка 1,83 мг/мл

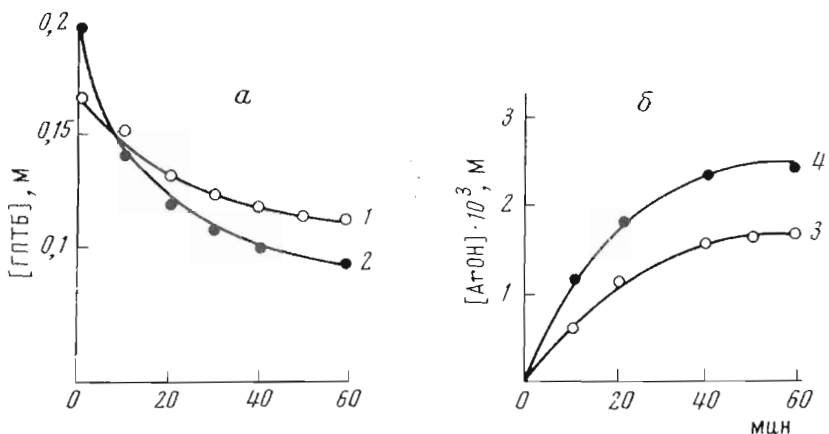


Рис. 3. Кинетические кривые расхода ГПТБ (a) и накопления  $\alpha$ -нафтола (б) при  $70$  и  $79^\circ$  в ацетонитриле. Условия:  $[ArH]_0 = 0,5$  М,  $[MoCl_5]_0 = 0,01$  М ( $70^\circ$ ) и  $0,02$  М ( $79^\circ$ ). 1, 3 —  $70^\circ$ ; 2, 4 —  $79^\circ$

Зависимость начальной скорости реакции окисления нафталина  $v_0$  от его начальной концентрации описывается уравнением Михаэлиса — Ментен. Спрямление этой зависимости по методу Лайнуивера — Берка (рис. 1) дало возможность определить величину  $K_m$  ( $5,0 \cdot 10^{-4}$  М) и максимальную скорость реакции  $V$  ( $2,8 \cdot 10^{-9}$  М·с $^{-1}$ ).

На основании зависимости скорости реакции гидроксилирования нафталина от начальной концентрации ГПТБ и спрямления этой зависимости в координатах  $1/v_0 - 1/[ГПТБ]_0$  (рис. 2) рассчитаны величины  $K_m$  для ГПТБ ( $2,85 \cdot 10^{-3}$  М) и  $V$  ( $2,0 \cdot 10^{-9}$  М·с $^{-1}$ ).

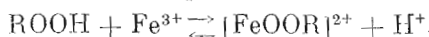
Прямое взаимодействие нафталина с цитохромом Р-450 микросом печени, изученное методом дифференциального спектрофотометрирования, дает характерный дифференциальный спектр с максимумом при 393 нм и минимумом при 424 нм. Зависимость  $\Delta D$ , представляющей собой разность поглощения  $\lambda_{\max}$  и  $\lambda_{\min}$ , от концентрации нафталина может быть спрямлена в координатах  $1/\Delta D - 1/[ArH]_0$  (рис. 1, 2). По данным рис. 1 вычислена константа диссоциации комплекса цитохрома Р-450 с нафталином, равная  $0,67 \cdot 10^{-4}$  М при  $20^\circ$ .

Представляется интересным поиск систем, которые могли бы имитировать характерный для ферментной системы микросом печени перенос кислорода из гидроперекисей в ароматические субстраты. Одной из таких систем является ГПТБ —  $MoCl_5$  —  $CH_3CN$ . При  $70$  и  $79^\circ$  в ацетонитриле нафталин гидроксилируется в  $\alpha$ -нафтол в присутствии ГПТБ при участии  $MoCl_5$  (рис. 3). За расходованием гидроперекиси в этих опытах следили йодометрически. Хотя выход  $\alpha$ -нафтола (в %) на расходующуюся гидроперекись невелик, факт гидроксилирования нафталина в этих условиях не вызывает сомнений.

Характер кинетических зависимостей скорости окисления нафталина от концентраций субстрата и гидроперекиси (рис. 1 и 2), а также прямое доказательство комплексообразования субстрата с цитохромом Р-450 (рис. 1) свидетельствуют в пользу образования комплекса субстрат — цитохром — гидроперекись, в котором происходит перенос атома кислорода из гидроперекиси в субстрат. Косвенно это подтверждается близостью величин максимальной скорости реакции, полученных в разных сериях опытов:  $2,8 \cdot 10^{-9}$  М·с $^{-1}$  из зависимости скорости реакции от начальной концентрации нафталина и  $2,0 \cdot 10^{-9}$  М·с $^{-1}$  из зависимости скорости реакции от начальной концентрации ГПТБ (рис. 1 и 2). Интересно сопоставить эффективность гидроксилирования нафталина в системах микросомы — ГПТБ и микросомы — NADPH —  $O_2$  в идентичных усло-

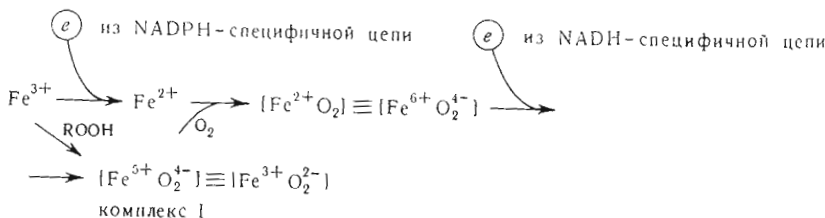
виях. При  $37^\circ$  в среде, содержащей 10% ацетона, при  $0,001\text{ M}$  концентрации NADPH максимальная скорость окисления нафтилина равна  $8,33 \cdot 10^{-9}\text{ M} \cdot \text{с}^{-1}$  [3], а в аналогичных условиях в системе микросомы — ГПТБ —  $2,8 \cdot 10^{-9}\text{ M} \cdot \text{с}^{-1}$ , т. е. система микросомы — NADPH —  $\text{O}_2$  приблизительно в 3 раза эффективнее системы микросомы — ГПТБ в реакции гидроксилирования нафтилина.

Недавно было показано, что микросомы печени в сочетании с гидроперекисями могут вызывать С-гидроксилирование ряда аминов [4], а гидроперекись кумиля и микросомы гидроксилируют анилин, бензпириен и кумарин [5, 6]. Таким образом, гидроксилирующая способность систем микросомы — гидроперекиси проявляется по отношению к разным субстратам. Эта гидроксилирующая способность присуща разным гидроперекисям в сочетании с микросомами печени. Представляется важным обсудить природу гидроксилирующего агента, действующего в системах микросомы — гидроперекись. Таким агентом может быть комплекс, образующийся при взаимодействии гидроперекисей ROOH с трехвалентным железом окисленного цитохрома P-450:



Этот комплекс аналогичен хорошо известному в энзимологии комплексу I  $[FeOOH]^{2+}$ , в котором железо находится в состоянии окисления 5 [7]. Комплекс I образуется в растворах, содержащих ион трехвалентного железа и перекись водорода, и идентифицирован по его спектрам с переносом заряда [7]. Можно предположить, что высшие валентные состояния ионов железа играют важную роль в процессах гидроксилирования микросомами в сочетании с гидроперекисями. Это подтверждается сходством спектров ЭПР системы микросомы — гидроперекись кумила и системы перекись водорода — метмиоглобин, в которой высшие состояния окисления иона железа хорошо доказаны [6].

Ниже приведена схема, отражающая активацию кислорода в системах микросомы — NADPH—O<sub>2</sub> и микросомы — гидроперекиси:



Из приведенной схемы следует, что в обеих системах образуется один и тот же активный гидроксилирующий агент — комплекс I, который может быть также активным при действии пероксидаз и катализ. Интересно отметить, что гидроперекиси обладают гидроксилирующей способностью в сочетании с ионами молибдена, находящегося в одном из высших валентных состояний. Установление природы гидроксилирующих частиц требует дальнейших исследований более широкого круга реакций с участием системы микросомы — гидроперекиси и изучения гидроксилирующих агентов на уровне физикохимии элементарного акта.

## Экспериментальная часть

Микросомную фракцию печени крыс выделяли методом дифференциального центрифугирования [3]. Все опыты проводили при 37°. Инкубационная смесь общим объемом 6 мл содержала трис-HCl-буфер (рН 7,4), 0,6 мл ацетона, различные концентрации ГПТБ и нафтилина АгН, а также микросомы в концентрации (по белку) — 1—2 мг/мл. Реакцию

начинали добавлением ГПТБ, проводили в течение 30 мин и останавливали добавлением 0,5 мл 20%-ной трихлоруксусной кислоты. После отделения белка центрифугированием продукт реакции —  $\alpha$ -нафтол — экстрагировали этилацетатом и анализировали фотоэлектроколориметрически (фотоэлектроколориметр ФЭК-56М) в виде азосоединения с сернокислым *n*-сульфофенилдиазонием [3]. Концентрацию микросомного белка определяли по методу Лоури [8].

Дифференциальные спектры поглощения регистрировали в приборах «Unicam SP-800» и «Unicam SP-700» в кюветах толщиной 1 см при 20°, используя растворы, содержащие различные концентрации нафтилина в фосфатном буфере (pH 7,5) и микросомы (3,0 мг/мл, по белку). Содержание цитохрома P-450 составляло 0,60 нмоль на 1 мг микросомного белка и определялось спектрофотометрически по поглощению комплекса цитохрома с окисью углерода и с использованием коэффициента экстинкции 91  $\text{мM} \cdot \text{см}^{-1}$  [9].

## ЛИТЕРАТУРА

1. Ахрем А. А., Метелица Д. И., Скурко М. Е. (1975) Успехи химии, 44, 868—896.
2. Biological Hydroxylation Mechanisms (1972) pp. 4—9, Acad. Press., London — New York.
3. Ахрем А. А., Усанов С. А., Метелица Д. И. (1974) Докл. АН СССР, 218, 1457—1460.
4. Kadlubar F. F., Morton K. C., Ziegler D. M. (1973) Biochem. Biophys. Res. Commun., 54, 1255—1261.
5. Rahimtula A. D., O'Brien P. (1974) Biochem. Biophys. Res. Commun., 60, 440—444.
6. Rahimtula A. D., O'Brien P., Hrycay E. G., Peterson J. A., Estabrook R. W. (1974) Biochem. Biophys. Res. Commun., 60, 695—702.
7. Ингрэм Л. (1964) Механизмы биохимических реакций, с. 100—103, «Мир», М.
8. Lowry O. H., Rosebrough N. J., Farr A. L., Randall R. (1951) J. Biol. Chem., 193, 265—275.
9. Omura T., Sato R. (1964) J. Biol. Chem., 239, 2370—2378.

Поступила в редакцию  
16.VI.1975

## KINETICS OF NAPHTHALENE HYDROXYLATION BY TERTIARY BUTYL HYDROPEROXIDE IN A SYSTEM WITH RAT LIVER MICROSOMES AND $\text{MoCl}_5$

AKHREM A. A., ABELIOVICH M. L., DVORNIKOV S. S.,  
USANOV S. A., METELITZA D. I.

*Institute of Bioorganic Chemistry, Academy of Sciences  
of the BSSR, Minsk*

The kinetics have been measured for naphthalene hydroxylation into  $\alpha$ -naphthol performed by tert-butyl hydroperoxide (TBHP) in a medium containing rat liver microsomes (Tris-HCl, pH 7.4, 37°). The dependence of the reaction rate on the concentrations of the substrate, TBHP and microsomal protein testifies to the formation of the ternary substrate-cytochrome P-450-TBHP complex. The  $K_m$  determined with a substrate is  $5.0 \cdot 10^{-4}$  mole/l and that with TBHP constitutes  $2.85 \cdot 10^{-3}$  mole/l. The dissociation constant of the cytochrome P-450 complex with naphthalene equals  $0.67 \cdot 10^{-4}$  mole/l at 20° C, as measured by difference spectrophotometry method. The hydroxylating activity of the TBHP/ $\text{MoCl}_5$  system with naphthalene is demonstrated. The mechanism of hydroxylation by the TBHP-microsomes system is discussed. A possible involvement of the higher valence states of the iron ions in hydroxylation by microsomal systems is considered.